



ارزیابی اثر پراکنش ذرات رس آلی بر رفتار رئولوژیکی نانوکامپوزیت پلی یورتان - رس مونت موریلیونیت

شبینم اشهری^{۱*}، علی اصغر سرابی^۲، سید محمود کثیریها^۳، داود زارعی^۴

۱- دانشجوی کارشناسی ارشد، گروه پوشش‌های سطح و خودگی، پژوهشگاه علوم و فناوری رنگ، تهران، ایران، صندوق پستی ۱۶۷۶۵-۶۵۴

۲- دانشجوی کارشناسی ارشد، دانشکده مهندسی پلیمر، دانشگاه صنعتی امیرکبیر، تهران، ایران، صندوق پستی ۱۵۹۱۴-۴۴۱۳

۳- استادیار، دانشکده مهندسی پلیمر، دانشگاه صنعتی امیرکبیر، تهران، ایران، صندوق پستی ۱۵۹۱۴-۴۴۱۳

۴- مریب، دانشکده مهندسی پلیمر، دانشگاه صنعتی امیرکبیر، تهران، ایران، صندوق پستی ۱۵۹۱۴-۴۴۱۳

۵- دانشجوی دکتری، دانشکده مهندسی پلیمر، دانشگاه صنعتی امیرکبیر، تهران، ایران، صندوق پستی ۱۵۹۱۴-۴۴۱۳

در دسترس به صورت الکترونیکی از: ۱۳۸۸/۶/۲۰ تاریخ پذیرش: ۱۳۸۸/۲/۱۳

چکیده

نانوکامپوزیت‌های پلی یورتان- رس آلی با اعمال نیروی شدید فرآصوت در نمونه‌هایی حاوی درصد های مختلف ذرات نانو رس مونت موریلیونیت تهیه شدند. آزمون‌های رئولوژیکی به همراه اندازه‌گیری‌های کدورت سنجی، تفرق اشعه ایکس، میکروسکوپ نوری و میکروسکوپ الکترونی عبوری بر روی نمونه‌ها انجام گرفت که نتایج آزمون تفرق اشعه ایکس بیانگر افزایش فاصله صفحات سیلیکاتی از ۱۸ آنگستروم به ۴۱ آنگستروم در داخل زمینه پلیمری بود. نتایج رئومتری نشان داد که نانوکامپوزیت‌های حاوی ذرات نانو رس آلی در مقایسه با پلی یورتان خالص، مدول دینامیکی بیشتر و رفتار شبه جامدتری از خود نشان می‌دهند. افزایش شدید در مقادیر مدول‌های نانوکامپوزیت به علت پخش شدن ولا یه لایه شدن ذرات سیلیکات‌ها داخل محیط پلیمری می‌باشد. در عین حال، با افزایش درصد نانو رس آلی، نرخ افزایش مقادیر مدول ذخیره این نانوکامپوزیت‌ها کمتر شده است و به حالت غیر خطی در آمدند. همچنین در نمونه‌ای که حاوی ۵٪ رس آلی بود در فرکانس‌های پایین، خواص رئولوژیکی به صورت رقیق شونده با تنفس برشی بود. با کنار هم قراردادن نتایج تفرق اشعه ایکس، میکروسکوپ نوری و رفتارهای رئولوژیکی که نانوکامپوزیت‌ها از خود نشان دادند معیاری برای ارزیابی میزان پراکنش ذرات نانو داخل زمینه پلیمری به دست آمد و نهایتاً درصد بهینه افزایش ذرات نانو رس داخل نانوکامپوزیت‌ها استخراج گردید.

واژه‌های کلیدی: رئولوژی، نانوکامپوزیت، نانورس، پلی یورتان، مونت موریلیونیت.

Investigation of Rheological Behavior to the State of Dispersion in Polyurethane-Montmorillonite Nanocomposites

S. Ashhari^{1,2}, A. A. Sarabi^{*2}, S. M. Kassiriha², D. Zaarei²

¹ Department of surface coating and corrosion, Institute for Color Science and Technology, P.O.Box: 16765-654, Tehran, Iran

² Polymer Engineering Department, Amirkabir University of Technology, P.O. Box: 15875-413, Tehran, Iran

Abstract

Polyurethane-clay nanocomposites were prepared by applying high-intensity ultrasound during the synthesis of clay-urethane nanocomposites. In this article, rheological measurements along with turbidimetry, optical microscopy, X ray diffraction (XRD) and Transmission electron microscope (TEM) analyses were carried out. The results of XRD showed that the distances between silicate layers of clay reached to 41 \AA in the polymeric matrix. Results showed that nanocomposites had higher dynamic moduli, and solid like behavior in comparison to that of neat polyurethane. The strong increase in modulus of nanocomposites was due to the intercalated and dispersed silicate platelets. The increase rate in storage modulus of these composites decreased at higher organoclay loadings and was not linear. Also, the sample that contained 5% organic clay showed a shear thinning behavior at low frequencies. By using the results of XRD, optical microscopy and rheometry analysis, the state of dispersion and optimum percent of clay that has the best dispersion state were obtained. J. Color Sci. Tech. 3(2009), 89-96. © Institute for Color Science and Technology.

Keywords: Rheology, Nanocomposite, Nanoclay, Polyurethane, Montmorillonite.

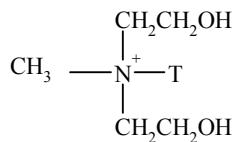
شفافیت نانو کامپوزیت حاصله و ارتباط خواص رئولوژیکی با میزان دیسپرسیون تاکنون مشاهده نشده است. هدف اصلی این تحقیق، استفاده از روش‌های مختلف مانند کدورت‌سنگی، XRD، میکروسکوپ نوری برای ارزیابی میزان پراکنش و همچنین پایداری پراکنش ذرات نانو رس داخل ماتریس پلی‌یورتان و صحة‌گذاری این مشاهدات با رفتارهای رئولوژیکی این ترکیبات غیربنیوتی می‌باشد و در این راستا میزان بهینه درصد رس آلی جهت کاربرد در پوشش‌ها با در نظر گرفتن پراکنش و سیلان استخراج شده است.

۲- بخش تجربی

۱-۲- مواد و وسایل

نانو رس آلی مورد استفاده در این مقاله مونت موریلونیت اصلاح شده با گرید تجاری CLOISITE 30 B می‌باشد که از شرکت Southern Clay Products تهیه گردید. ظرفیت تبادل یونی این ماده ۹۵ گرم بر اکی والان و عامل بهینه‌سازی سطح آن MT2EtOT^۱ با شرایط شکل ۱ می‌باشد.

همچنین مشخصات ابعادی و فیزیکی رس مذکور در جدول ۱ آورده شده است.



شکل ۱: مشخصات عامل بهینه کننده سطح رس آلی CLOISITE 30 B

که در آن:

T = Tallow (~65% C18; ~30% C16; ~5% C14). Anion: Chloride

آکریلیک پلی‌ال از شرکت هایتک و هگزامتیلن ایزو سیانات نیز از شرکت بایر خریداری شدند. پس از نگهداری نمونه‌ها در ۵۰°C میزان کدورت نمونه‌ها در زمان‌های مختلف و بر طبق استاندارد ASTM D 5180-93 و با استفاده از دستگاه کدورت‌سنگ HACH 2100 AV Turbidimeter بر حسب واحد NTU در ساعات مختلف و در دمای محیط اندازه‌گیری شدند. تصاویر میکروسکوپ نوری از نانوکامپوزیت‌های حاوی درصدهای مختلف رس آلی توسط دستگاه میکروسکوپ DMR Leica دارای دوربین ویدئویی نوری با قابلیت بزرگنمایی تا ۱۰۰۰ برابر تهیه شدند.

۱- Methyl, tallow, bis-2-hydroxyethyl, quaternary ammonium

۱- مقدمه

پلی‌یورتان یکی از پلیمرهای متداول در مقیاس تجاری می‌باشد. پس از توسعه فناوری نانو، مصرف این پلیمر نیز گسترش‌هایی داشته است. نانوکامپوزیت‌های بر پایه پلی‌یورتان به علت خواص ویژه مورد مطالعه و بررسی قرار گرفته‌اند که نانوکامپوزیت‌های پلی‌یورتان - رس آلی از جمله آنها می‌باشند. نانوکامپوزیت پلی‌یورتان - رس آلی حتی با وجود مقادیر بسیار کم از ذرات رس آلی، دارای خواص مکانیکی و حرارتی بسیار خوب [۱]، خواص ممانعتی [۲] و اشتغال‌پذیری پایین [۳] می‌باشند. رایج‌ترین نوع رس آلی مورد استفاده در این گونه نانوکامپوزیت رس مونت موریلونیت (MMT) می‌باشد زیرا این ذره منشا طبیعی دارد و از لحاظ قیمتی نیز دارای قیمت مناسبی می‌باشد که محسن مذکور باعث افزایش مصرف این نوع ذره گردیده‌اند [۴]. ساختار بلوری MMT از یک لایه هشت وجهی هیدروکسید الومینیوم قرار گرفته بین دو لایه اکسید سیلیکون چهاروجهی ساخته شده است [۵].

برای سنتز نانوکامپوزیت‌های پلیمر - رس آلی سه روش اصلی وجود دارد: ۱- پلیمریزاسیون در جا ۲- روش حلالی ۳- روش مذاب، به طور کلی روشی برای سنتز نانوکامپوزیت‌ها مناسب می‌باشد که باعث هرچه بیشتر پخش شدن ذرات نانو داخل ماتریس پلیمری شود. خواص نانوکامپوزیت‌ها به شدت وابسته به چگونگی پراکنش پرکنده‌ها در ماتریس می‌باشد [۶]. در نتیجه در تهیه نانوکامپوزیت‌هایی مانند نانوکامپوزیت پلی‌یورتان - رس آلی بررسی ریخت‌شناسی و نحوه دیسپرسیون بسیار مهم می‌باشد.

مطالعه خواص سیالیت و رئولوژی این گونه نانوکامپوزیت‌ها اهمیت زیادی در شناخت مورفولوژی و نهایتاً کاربرد این مواد دارد. از این رو اخیراً مطالعات خواص دینامیکی و ساختاری و رئولوژیکی این نانوکامپوزیت‌ها را تشریح نموده‌اند [۷-۲۰]. در تحقیقی، اثر عوامل اختلاط و نوع رس مورد استفاده بر خواص رئولوژیکی نانوکامپوزیت اپوکسی - رس بررسی شده است [۱۸]. تحقیق دیگری، فرمولاسیون، خواص مکانیکی و رئولوژیکی یک نوع چسب پلی‌یورتان حاوی ذرات مونت موریلونیت در درصدهای مختلف را بررسی نموده است [۱۰]. خواص رئولوژیکی یک فیلم پلی‌یورتان پر شده با ذرات نانو رس که به طریقه پلیمریزاسیون حلالی به دست آمده بود مورد مطالعه قرار گرفته است [۷،۱۴]. اثر بهبود دهنده‌های رس آلی بر خواص ریخت‌شناسی، فیزیکی و رئولوژیکی نانوکامپوزیت ترمومپلاست پلی‌یورتان - رس نیز مورد ارزیابی قرار گرفته است [۲۰].

مرور منابع نشان دادند ارزیابی اثرات متقابل افزایش میزان نانو رس آلی بر خواص رئولوژیکی علی‌الخصوص با نگاه کاربردی در پوشش‌های آلی و همچنین اثر همزمان افزایش این ذرات بر کدورت و

جدول ۱: مشخصات ابعادی و فیزیکی رس B CLOISITE 30 B

اصلاح کننده آلی	غلظت	رطوبت در حالت احتراق	میزان ذرات با اندازه کمتر از ۶ میکرون	میزان ذرات با اندازه کمتر از ۱۳ میکرون	فام چگالی بالک g/cm³	میزان ذرات با اندازه کمتر از ۰,۳۶۴ سفید٪
MT2EtOT	90 meq/100g clay	<٪/۲	٪/۳۰	٪/۱۰	٪/۵۰	٪/۹۰

تهیه شده را بررسی نمود. به این صورت که اگر کدورت نمونه‌ها در زمان‌های مختلف اندازه گرفته شود و مقادیر آنها با گذشت زمان خیلی کمتر شود نمونه‌های ساخته شده پایدار نمی‌باشند و ذرات پراکنده شده در زمینه پلیمری تهشین شده‌اند. شکل ۲ تصاویر سل‌های مختلف حاوی رزین خالص و نانوکامپوزیت‌های دارای ۳، ۵ و ۷٪ وزنی از نانو رس آلی داخل رزین اکریلیک را نشان می‌دهد. نتایج حاصل از انجام آزمون کدورت‌ستجی بر روی نمونه‌های تهیه شده از پخش کردن ذرات نانورس آلی در درصدهای وزنی مختلف در رزین پلی‌آل اکریلیک در شکل ۳ ارائه شده‌اند.

همان گونه که در شکل ۳ مشاهده می‌شود با گذشت زمان تغییرات بسیار کم و ناجیزی در میزان کدورت بر حسب NTU در کلیه نمونه‌ها اتفاق افتاده است و شبی منحنی‌های مربوط به افت کدورت که نشانگر سرعت تهشینی می‌باشند، بسیار کم است و این بیانگر پایداری بالای نمونه‌ها در مقابل تهشینی ذرات می‌باشد. بنابراین، نتایج حاصل از این آزمون می‌تواند بیانگر پایداری بالا این نمونه‌ها با گذشت زمان باشد. از طرف دیگر، میزان کدورت نشان داده شده در شکل ۲ بیانگر افزایش تصاعدی کدورت ترکیبات حاوی مقادیر زیاد نانو رس آلی می‌باشد که این امر در خصوص استفاده از چنین

تفرق اشعه ایکس توسط دستگاه PHILIPS X PERT صورت پذیرفت. الگوهای پراش اشعه X با تابش Cuk_α در 40kV و جریان 40mA در محدوده ۱۰-۵ درجه و نرخ روبش ۲° بر دقیقه تهیه شدند.

تصاویر میکروسکوپ الکترونی عبوری TEM از نمونه‌های پخت شده نانوکامپوزیت تهیه شد. برای اینکار ابتدا آماده‌سازی و برش قطعات با ابزار برش اولترامیکروتومی (OMU3 (Reichert, Austria) مجهز به یک چاقوی الماس در ضخامت‌های ۷۰ تا ۱۰۰ نانومتر صورت گرفت و نمونه‌ها بر روی توری مسی ۳۰۰ مش قرار داده شدند. سپس تصاویر با استفاده از میکروسکوپ الکترونی PHILIPS-CM200 با ولتاژ شتابدهی ۲۰۰ کیلو ولت تهیه شدند.

رئومتری با دستگاه مدل Paar Physica در حالت نوسانی، با دو صفحه موازی، در دمای محیط و در فرکانس‌های مختلف انجام شد و پارامترهای گرانزوی مختلط، مدول اتلاف و مدول کشسان حاوی در صدهای مختلف از رس آلی به دست آمد.

۲-۲- روش کار

در این تحقیق درصدهای مختلف ۱، ۳، ۵ و ۷٪ از ذرات نانورس آلی MMT به کمک روش حلالی و با استفاده از دستگاه فراصلوت تهیه شدند به این صورت که ابتدا ذرات نانورس آلی داخل حلal زایلن دیسپرس و کمی حلal زایلن نیز به جزء پلی‌آل اضافه گردید. بعد از گذشت مدتی این دو محلول به هم اضافه شدند و به کمک دستگاه فراصلوت عمل پراکنش ذرات داخل ماتریس پلیمری انجام گرفت. کدگذاری نمونه‌های آماده شده برای ترکیبات حاوی ۱، ۳، ۵ و ۷٪ MMT ذرات نانورس آلی MMT به ترتیب MMT1%， MMT3%， MMT5% و MMT7% صورت پذیرفت. هم چنین نمونه رزین خالص عاری از رس به صورت PU کدگذاری گردید.

۳- نتایج و بحث

۳-۱- نتایج آزمون کدورت سنجی

با اندازه‌گیری میزان کدورت نمونه‌ها می‌توان میزان پایداری نمونه‌های



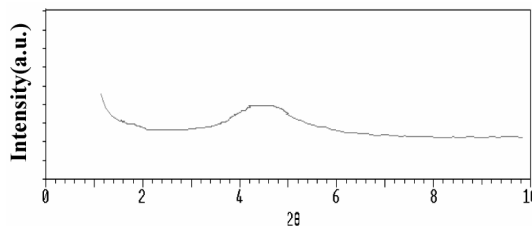
شکل ۲: سل‌های مخصوص دستگاه کدورت‌ستج ۱- پلیمر PU
۲- نانوکامپوزیت حاوی ۱٪/رس آلی ۳- نانوکامپوزیت حاوی ۳٪/رس آلی ۴- نانوکامپوزیت حاوی ۵٪/رس آلی ۵- نانوکامپوزیت حاوی ۷٪/رس آلی.

۲-۳- نتایج میکروسکوپ نوری

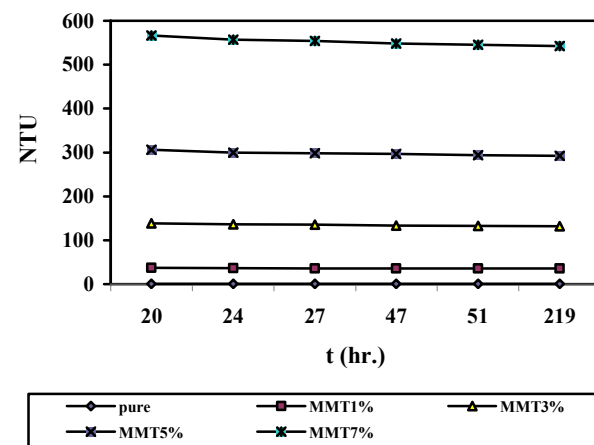
شکل ۴ تصاویر میکروسکوپ نوری از نانوکامپوزیت‌های حاوی درصدهای مختلف رس آلی را نشان می‌دهد. با استفاده از این تصاویر می‌توان پیش‌بینی اولیه‌ای در مورد پراکنش مناسب نانو ذرات در محیط رزینی را نشان داد. علاوه بر این، این تصاویر مناسب بودن روش فرآصوت جهت تهیه نانو کامپوزیت را به خوبی نشان می‌دهند زیرا همان طور که در شکل ۴ مشاهده می‌شود در تمامی نمونه‌ها هیچ ذره‌ای در داخل زمینه مشاهده نمی‌شود.

۳- نتایج آزمون تفرق اشعه ایکس (XRD) و میکروسکوپ الکترونی عبوری

نتایج XRD برای بررسی فاصله صفحات سیلیکاتی مربوط به ذرات نانو رس آلی در حالت‌های قبل از پخش شدن در ماتریس پلیمری و بعد از XRD پخش شدن در نانو ذره (MMT) Cloisite 30B در شکل ۵ نشان داده شده است. همان طور که در شکل ۵ مشخص است پیک پهنی که مربوط به مونت موریلیونیت می‌باشد در حدود $2\theta = 4,764^\circ$ مشاهده می‌شود.

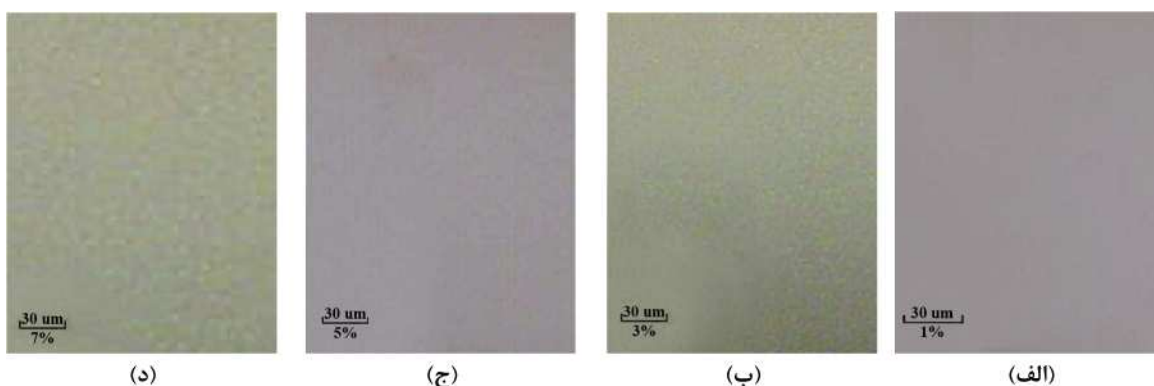


شکل ۵: نمودار XRD مربوط به پودر نانو رس آلی MMT



شکل ۳: نتایج حاصل از اندازه‌گیری‌های کدورت برای نمونه‌های مختلف نانو کامپوزیت.

ترکیباتی بالاخص در پوشش‌ها می‌بایستی مد نظر قرار گیرند. از آنجا که رزین‌های پلی‌بورتان به دلیل مقاومت جوی بسیار عالی خود معمولاً به عنوان روکش‌های نهایی پوشش‌های سطحی به ویژه خودرویی و تریینی مورد استفاده قرار می‌گیرند، بنابراین، کدورت احتمالی ناشی از وجود ذرات نانو رس آلی در پوشش‌های نانوکامپوزیتی حاصله اثر قابل توجهی بر ظاهر این گونه پوشش‌ها خواهد گذاشت. با توجه به نتایج شکل ۲ واضح است که حضور حداقل میزان ۰.۵٪ از رس آلی در ترکیب پوشش به لحاظ کدورت قابل قبول است و مقادیر بالاتر به دلیل عدم امکان پراکنش کامل، صرف نظر از سایر موارد، ایجاد کدورت غیرقابل قبول در پوشش‌های آلی مورد استفاده به عنوان روکش نهایی می‌نمایند. این امر در خصوص استفاده از چنین ترکیباتی به ویژه در پوشش‌ها می‌بایستی مد نظر قرار گیرند.



شکل ۴: تصاویر میکروسکوپ نوری نانو کامپوزیت‌های پلی‌بورتان - رس آلی. (الف) پلی‌بورتان - رس آلی ۱٪ ، (ب) پلی‌بورتان - رس آلی ۳٪ ، (ج) پلی‌بورتان - رس آلی ۵٪ ، (د) پلی‌بورتان - رس آلی ۷٪.

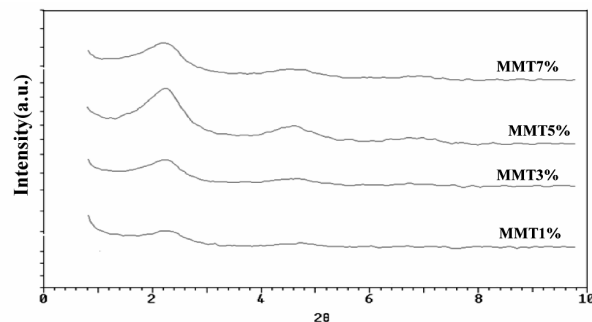
است می‌توان این گونه ادعا نمود که پخش و پراکنش ذرات رس در ماتریس، با توجه به شرایط یکسان اختلاط تابع میزان درصد ذرات نانورس وارد شده به سیستم می‌باشد و شرایط اختلاط به کار رفته در این تحقیق، با توجه به نتایج آزمون تفرق اشعه ایکس و تصاویر میکروسکوپ الکترونی عبوری برای نمونه‌ها حداقل منجر به ریخت‌شناسی جای‌دهی شده است و تحت شرایط پخت در نمونه‌های حاوی مقادیر بھیه از ذرات نانو رس تا حدودی نیز منجر به ریخت‌شناسی ورقه‌ورقه شدن گردیده است.

۴-۳-بررسی‌های رئولوژیکی

بررسی‌های رئولوژیکی انجام شده بر روی کامپوزیت‌های حاوی درصدهای مختلف رس آلی به منظور یافتن رابطه‌ای بین رفتارهای رئولوژیکی نانوکامپوزیت‌ها و میزان پراکنش ذرات نانو داخل زمینه پلیمری می‌باشد [۷-۲۰]. جهت جلوگیری از انجام واکنش پلیمریزاسیون در طول مدت آزمون‌ها، تمامی اندازه‌گیری‌های رئولوژیکی در غیاب جزء سخت کننده انجام شدند.

گرانروی مختلط ترکیبات پلی‌یورتان، پلی‌یورتان - رس آلی٪، پلی‌یورتان - رس آلی٪/۳، پلی‌یورتان - رس آلی٪/۵ و پلی‌یورتان - رس آلی٪/۷ در فرکانس‌های پایین در شکل ۸ نشان داده شده‌اند. با توجه به شکل ۸ با افزایش میزان درصد وزنی ذرات رس آلی داخل زمینه پلیمری، گرانروی کامپوزیت‌ها نیز بیشتر می‌شوند و رفتار نمونه‌ها نیز از حالت نیوتونی خارج شده و از خود رفتار شبه پلاستیک نشان می‌دهند. همان‌گونه که در شکل ۸ مشاهده می‌شود هنگام استفاده از مقادیر بالای ذرات رس آلی در داخل زمینه پلیمری (نظیر ترکیبات حاوی ۵ و ۷ درصد وزنی از رس آلی)، روند تغییرات گرانروی از حالت خطی خارج شده است. از طرفی تفاوت بین گرانروی نانوکامپوزیت‌های حاوی٪/۵ و٪/۷ رس آلی بسیار کم می‌باشد

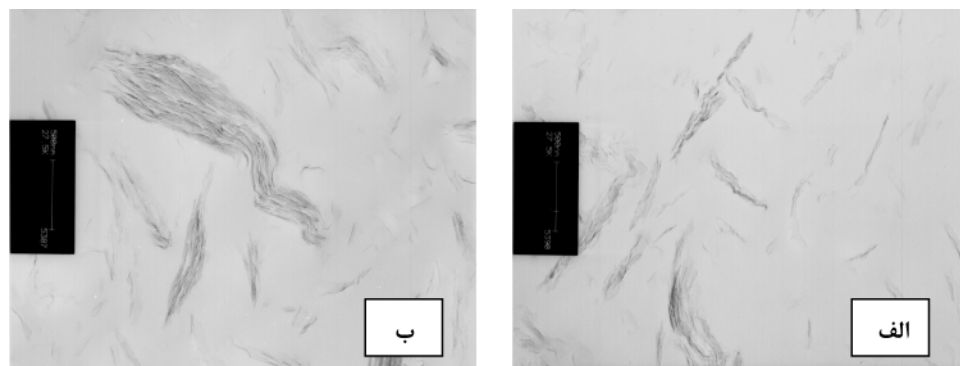
-
- 1- Partial exfoliation
2- Intercalation



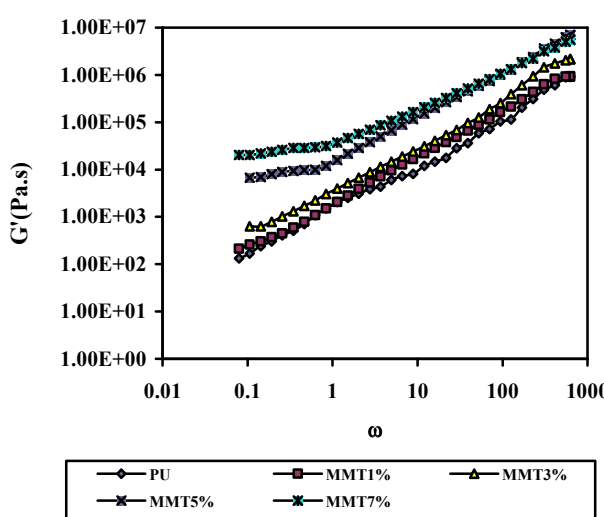
شکل ۶: نمودارهای XRD مربوط به نمونه‌های نانو کامپوزیت پخت نشده حاوی پلی‌یورتان - رس آلی.

نمودارهای حاصل از انجام آزمون XRD بر روی نمونه‌های نانوکامپوزیت پلی‌یورتان - رس آلی تهیه شده به روش حلالی و با کمک دستگاه فرامصوت در شکل ۶ ارائه شده‌اند. همان‌گونه که در شکل ۶ نشان داده شده است در تمامی نمودارها پیک بهمنی در نواحی حدود $2\theta = 21.84^\circ$ مشاهده می‌شود. از مقایسه اعداد به دست آمده برای فاصله لایه‌های سیلیکاتی ذرات مونت موریلوبنیت، از تحلیل XRD در حالت‌های قبل و بعد از پخش شدن ذرات رس آلی داخل ماتریس پلیمری می‌توان نتیجه‌گیری نمود که لایه‌های رس آلی توسط زنجیرهای پلی‌یورتان از هم فاصله گرفته‌اند. از طرف دیگر میزان شدت پیک‌های حاوی ۱ و٪/۳ نانو رس آلی کمتر می‌باشد که نشان‌دهنده پراکنش بهتر و حتی جای‌دهی بالاتر رزین درون لایه‌ها برای ترکیبات MMT1% و MMT3% می‌باشد.

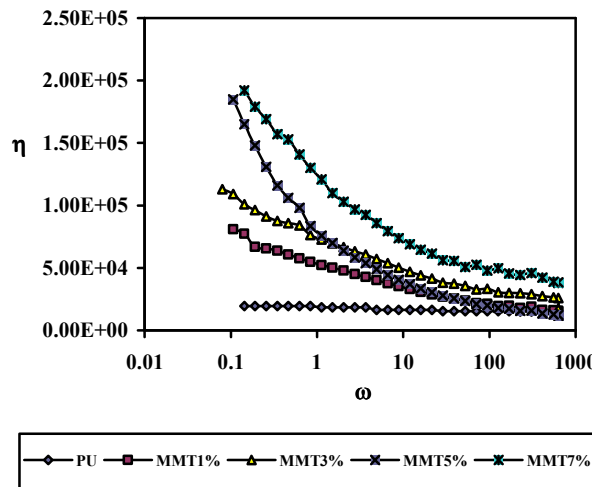
شکل ۷ نشان‌دهنده تصاویر میکروسکوپ الکترونی عبوری مربوط به نمونه‌های پخت شده٪/۳ MMT و٪/۵ MMT می‌باشد. در این شکل، با توجه به میزان بزرگنمایی یکسان هر دو نمونه در تصویر برداری TEM میکروسکوپ الکترونی عبوری واضح است که میزان پراکنش در نمونه٪/۳ MMT بیشتر است و حتی می‌توان ادعا نمود که بخشی از لایه‌های رس به صورت ورقه درآمده‌اند در حالی که در نمونه٪/۵ MMT ریخت‌شناسی جای‌دهی^۱ جاری و حاکم است. صرف نظر از عامل پخت که شرایط آن برای هر دو نمونه یکسان بوده



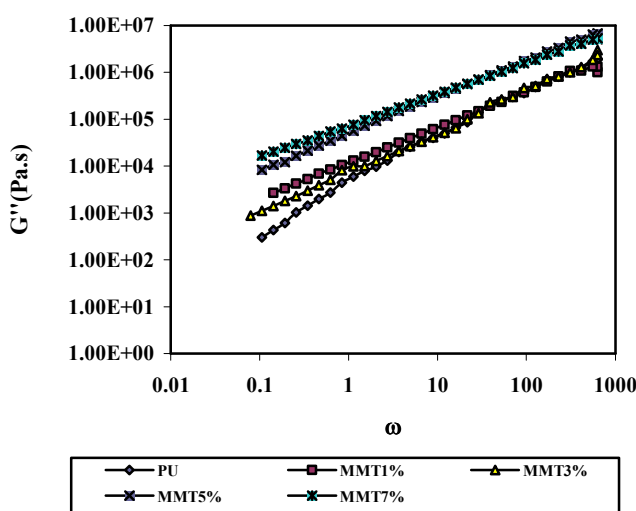
شکل ۷: تصاویر میکروسکوپ الکترونی عبوری مربوط به: (الف) نمونه٪/۳ MMT و (ب) نمونه٪/۵ MMT.



شکل ۹: نمودارهای مدول ذخیره مربوط به پلی یورتان و نانوکامپوزیت‌های پلی یورتان رس آلی حاوی ۱، ۳، ۵ و ۷٪ رس آلی.



شکل ۸: نمودار مقایسه گرانزوی مختلط نانوکامپوزیت‌های حاوی مقادیر مختلف نانو رس آلی با پلی یورتان خالص.



شکل ۱۰: نمودارهای مدول اتلاف مربوط به پلی یورتان و نانوکامپوزیت‌های پلی یورتان رس آلی حاوی ۱، ۳، ۵ و ۷٪ رس آلی.

درصدهای بالاتر از رس آلی یک رفتار غیر خطی شدید مشاهده می‌شود. زیرا زنجیرهای پلی یورتان به راحتی در میان لایه‌های سیلیکاتی نفوذ کرده و در نتیجه علاوه بر ایجاد برهمکنش ضعیف ناشی از نیروهای واندروالسی، گروههای هیدروکسیل زنجیر پلیمری با عوامل فعالی مانند اکسیژن و هیدروکسید، که روی سطح ذرات رس آلی وجود دارند واکنش داده و ایجاد برهمکنش قوی می‌نمایند، در نتیجه مناطق هموار مشاهده شده در نمودارهای مربوط به منحنی‌های مدول الاستیک به علت وجود این برهمکنش‌های قوی نیز باشد. علاوه بر این از نتایج به دست آمده از آزمون XRD نیز

در نتیجه می‌توان گفت که نانوکامپوزیت حاوی ۵٪ رس آلی حداقل نرخ مقدار گرانزوی بر حسب میزان درصد رس آلی را در نانوکامپوزیت‌های تهیه شده به روش حالی و به کمک دستگاه فراصوت از خود نشان داده است. گرانزوی بالای نانوکامپوزیت‌های حاوی ۵ و ۷٪ رس آلی در فرکانس‌های پایین باعث ایجاد مقاومت بالایی در برابر جریان پذیری هنگام استفاده از آنها می‌شود که در نتیجه هنگام اعمال این نانوکامپوزیت‌ها می‌توان ضخامت‌های مورد نظر را حتی اگر بالا باشند به راحتی و بدون احتمال شرگی بر روی زیرآیندهای مختلف اعمال کرد.

مدول‌های ذخیره و اتلاف نانوکامپوزیت‌های حاوی درصدهای مختلف رس آلی که در معرض آزمون‌های تنش برشی نوسانی قرار گرفته‌اند، در شکل‌های ۹ و ۱۰ نشان داده شده‌اند. در کلیه ترکیبات مورد بررسی، با کاهش فرکانس، مدول‌های ذخیره و اتلاف نیز کاهش یافته‌اند. لیکن به صورت مقایسه‌ای، همان گونه که انتظار می‌رفت، در تمامی فرکانس‌ها با افزایش درصد رس آلی مقدار مدول‌ها نیز افزایش می‌یابد. در فرکانس‌های بالا، رفتار کیفی مدول اتلاف و کشسان تقریباً مشابه می‌باشد. اما در فرکانس‌های پایین با افزایش درصد رس آلی میزان تغییرات مدول کشسان G' به صورت یکنواخت و نمودار آن به حالت هموار می‌باشد. از طرف دیگر، در فرکانس‌های پایین پاسخ‌های ویسکوالاستیک (مخصوصاً G'') در تمامی نانوکامپوزیت‌های حاوی رس آلی، با کاهش فرکانس کاهش می‌یابد و رفتارهای رئولوژیکی آنها شبه جامد می‌شود. در حقیقت این گونه به نظر می‌رسد که در تمامی کامپوزیت‌های حاوی درصدهای کم از رس آلی، در نمونه‌های حاوی

مورد ارزیابی قرار گرفت. خواص رئولوژیکی این نانوکامپوزیت‌ها رابطه مستقیمی با نتایج حاصل از میکروسکوپ نوری و XRD و میکروسکوپ الکترونی عبوری دارد. پراکنش کامل ذرات نانو داخل زمینه پلی‌یورتانی وابسته به روش پراکنده‌سازی و میزان سازگاری رزین با ذرات رس آلی می‌باشد. در این تحقیق استفاده از دستگاه فراصوت در تهیه نانوکامپوزیت پلی یورتان - رس آلی به عنوان روش مناسب شناخته شد زیرا با استفاده از این روش ذرات نانو به خوبی داخل زمینه پلیمری به علت برهم کنش بین رزین و زنجیرهای آلی با ذرات رس آلی، پراکنده می‌شوند. در بررسی‌های رئولوژیکی مشاهده شد که در نمونه‌های حاوی رس آلی رفتار نیوتونی رزین پلی یورتان به رفتار غیرنیوتونی شبه پلاستیک تبدیل شد که این به معنی برهمکنش بین زنجیرهای پلیمری و ذرات نانو رس آلی و در نتیجه پراکنش این ذرات می‌باشد. نانوکامپوزیت‌های حاوی ذرات نانو رس آلی در فرکانس‌های پایین گرانبروی سیار بالای نسبت به رزین خالی از خود نشان دادند که این منجر به اعمال راحت‌تر پوشش‌های حاصله از این نانوکامپوزیت‌ها در ضخامت‌های بالا می‌شود. همچنین مدول ذخیره بالای این نانوکامپوزیت‌ها مانع از تهذیبی ذرات آنها می‌شود.

نانوکامپوزیت‌های حاوی درصدهای رس آلی تا ۳٪ رفتار تیکسوتروپ از خود نشان دادند ولی با افزایش بیشتر درصد رس آلی در این نانوکامپوزیت‌ها علاوه بر رفتار تیکسوتروپ رفتار شبه جامد نیز مشاهده شد.

مشاهده گردید که فاصله صفحات کلی در حضور زنجیرهای پلیمری زیاد شده است و ذرات سیلیکات لایه‌ای به خوبی پخش و از هم فاصله گرفته‌اند که این مسئله باعث برهمکنش هرچه بیشتر زنجیرهای پلیمری و سیلیکات‌های لایه‌ای نیز می‌گردد.

رفتار شبه جامدی که پوشش‌های نانوکامپوزیتی در فرکانس‌های پایین از خود نشان می‌دهند کاملاً وابسته به سه علت می‌باشد:

- ۱- ساختار و قطبیت ذرات رس آلی -۲- مقدار درصد رس آلی موجود در کامپوزیت -۳- استفاده از دستگاه فراصوت در فرایند پراکنده‌سازی.

با ارزیابی مشاهدات رئولوژیکی و حالت‌های مختلف دیسپرسیون در مقیاس نانومتری می‌توان به این نتیجه رسید که سونیکاسیون هنگام تهیه نانو کامپوزیت پلی یورتان - رس آلی موجب پخش و پراکنده‌گی بهتر ذرات و افزایش گرانبروی و مدول ذخیره این نانوکامپوزیت‌ها می‌شود و تنها ایجاد تنش برشی در هنگام استفاده از نانوکامپوزیت‌های حاوی رس آلی منجر به سیلان این مواد می‌شود که این عمل مانع شرگی این مواد در هنگام اعمال پوشش‌های آنها در سطوح عمودی می‌شود.

۴- نتیجه‌گیری

نانوکامپوزیت‌های پلی یورتان - رس آلی توسط فراصوت کردن و استفاده از روش حلالی تهیه شدند. سپس اثر ذرات نانورس آلی بر روی چگونگی ریختشناسی و رفتار رئولوژیکی این نانوکامپوزیت‌ها

۵- مراجع

1. Y. W. C. Yang, H. C. Yang, G. J. Li , Y. K. Li, Thermal and anticorrosive properties of polyurethane/clay nanocomposites. *J. Polym. Res.* 11(2004), 275-283.
2. W. J. Choi, S. H. Kim, Y. J. Kim, S. C. Kim, Synthesis of chain-extended organoer and properties of polyurethane/clay nanocomposites. *Polymer.* 45(2004), 6045-6057.
3. M. Berta, A. Saiani, C. Lindsay, R. Gunaratne, Effect of clay dispersion on the rheological properties and flammability of polyurethane-clay nanocomposite elastomers. *J. Appl. Polym. Sci.* 112(2009), 2847-2853
4. L. W. Hua, Z. G. Jie, Preparation of Chinese fir wood/MMT nanocomposites and the factors affecting it, *Forestry Studies in China*. 9(2007), 45-50.
5. D. Zaarei, A. A. Sarabi, F. Sharif, S. M. Kassiriha, Structure, properties and corrosion resistivity of polymeric nanocomposite coatings based on layered silicates. *J. Coat. Technol. Res.* 5 (2008), 241-249.
6. Q. T. Nguyen, D. G. Baird, Preparation of polymer-clay nanocomposites and their properties, *Advan. Polym. Technol.* 25(2007), 270-285.
7. S. A. Madbouly, J. U. Otaigbe, Rheology of polyurethane nanocomposite films containing different nanofillers prepared from homogeneous aqueous solution polymerization, the xv international congress on rheology, The society of rheology 80th annual meeting. AIP Conference Proceedings, 1027(2008), 812-814.
8. M. Rodlert, C. J. G. Plummer, Y. Leterrier, J. A. E. Manson, H. J. M. Grünbauer, Rheological behavior of hyperbranched polymer/montmorillonite clay nano-composites, *J. Rheol.* 48(2004), 1049-1065.
9. R. Krishnamoorti , E.P. Giannelis, Rheology of end-tethered polymer layered silicate nanocomposites, *Macromolecules*. 30 (1997), 4097-4102.
10. C. E. Corcione, P. Prinari, D. Cannella, G. Mensitieri, A. Maffezzoli, Synthesis and characterization of clay-nanocomposite solvent-based polyurethane adhesives, *Int. j. adhesion and adhesives*. 28(2008), 91-100.
11. R. Krishnamoorti, K. Yurekli, Rheology of polymer layered silicate nanocomposites, *Curr Opin Colloid Interface Sci* 6(2001), 464-470.
12. R. Krishnamoorti, J. Ren , A. S. Silva, Shear response of layered silicate nanocomposites. *J. Chem. Phys.* 114 (2001), 4968.
13. J. Ren , R. Krishnamoorti, Nonlinear viscoelastic properties of layered-silicate-based intercalated nanocomposites, *Macromolecules*. 36(2003), 4443-4451.
14. S. A. Madbouly, Rheological behaviour of aqueous

- polyurethane dispersions: Effects of solid content, degree of neutralisation, chain extension and temperature, *Macromolecules*. 38(2005), 4014-4023.
15. Ž. Ema, H. Miroslav, G. Jože, Ž. Majda, Z. Andreja. The effect of annealing on the rheological and thermal properties of aliphatic hyperbranched polyester based on 2,2-bis (methylol) propionic acid. *Macromolecules*, 38(2005), 3933-3942.
 16. J. G. P. Christopher, R. Marlene, B. Jean-Luc, J. M. G. Henri, E. M. Jan-Anders, Correlating the rheological and mechanical response of polyurethane nanocomposites containing hyperbranched polymers. *Polymer*. 46(2005), 6543-6553.
 17. O. Becker, P. Sopade, R. Bourdonnay, P. J. Halley, G. P. Simon, Layered silicate nanocomposites based on various high-functionality epoxy resins. Part II: The influence of an organoclay on the rheological behavior of epoxy prepolymers, *Polym. Eng. Sci.* 43(2003), 1683-1690.
 18. D. Zaarei, A. A. Sarabi, F. Sharif, S. M. Kassiriha, M. Moazzami Gudarzi, Rheological studies of uncured epoxy-organoclay nanocomposite coatings, *e-Polymers*, 117 (2008), 1618-7229.
 19. M. Berta, A. Saiani, C. Lindsay, R. Gunaratne1, Effect of clay dispersion on the rheological properties and flammability of polyurethane-clay nanocomposite elastomers, *J. Appl. Polym. Sci.* 112(2009), 2847-2853.
 20. C. H. Dan, M. H. Lee, Y. D. Kim, B. H. Min, J. H. Kim, Effect of clay modifiers on the morphology and physical properties of thermoplastic polyurethane, *Polymer*. 47(2006), 6718-6730.
 21. J. M. Yeh, H. Y. Huang, C. L. Chen, W. F. Su, Y. H. Yu, Siloxane-modified epoxy resin-clay nanocomposite coatings with advanced anticorrosive properties prepared by a solution dispersion approach, *Surf. Coat. Technol.* 200(2006), 2753-2763.
 22. Y. H. Yu, J. M. Yeh, S. J. Liou, Y. P. Chang, Organo-soluble polyimide (TBAPP-OPDA)/clay nanocomposite materials with advanced anticorrosive properties prepared from solution dispersion technique. *Acta Materialia*. 52 (2004), 475-486.
 23. J. M. Yeh, S. J. Liou, C. Y. Lin, C. Y. Cheng, Y. W. Chang, Anticorrosively enhanced pmma-clay nanocomposite materials with quaternary alkylphosphonium salt as an intercalating agent, *Chem. Mater.* 2002(14), 154-161.
 24. M. R. Bagherzadeh, F. Mahdavi, Preparation of epoxy-clay nanocomposite and investigation on its anti-corrosive behavior in epoxy coating. *Prog. Org. Coat.* 60(2007), 117-120.